

Свойства внеосевых каустик автофокусирующихся чирп-пучков

А.В. Устинов¹, С.Н. Хонина^{1,2}

¹ ИСОИ РАН – филиал ФНИЦ «Кристаллография и фотоника» РАН,
443001, Россия, Самарская область, г. Самара, ул. Молодогвардейская, д. 151,

² Самарский национальный исследовательский университет имени академика С.П. Королёва,
443086, Россия, Самарская область, г. Самара, Московское шоссе, д. 34

Аннотация

В данной статье теоретически и численно исследуются автофокусирующие свойства чирп-пучков с произвольной степенной зависимостью от радиуса. Рассмотрены двух- и трёхпараметрические чирп-пучки, вариации параметров которых позволяют эффективно управлять автофокусирующими свойствами. Полученные результаты обладают потенциалом для различных приложений в оптике и фотонике.

Ключевые слова: автофокусировка, внеосевая каустика, чирп-пучки.

Цитирование: Устинов, А.В. Свойства внеосевых каустик автофокусирующихся чирп-пучков / А.В. Устинов, С.Н. Хонина // Компьютерная оптика. – 2020. – Т. 44, № 5. – С. 721-727. – DOI: 10.18287/2412-6179-CO-794.

Citation: Ustinov AV, Khonina SN. Properties of off-axis caustics of autofocusing chirp beams. Computer Optics 2020; 44(5): 721-727. DOI: 10.18287/2412-6179-CO-794.

Введение

В оптике хорошо известно явление самофокусировки в нелинейных средах, когда под воздействием интенсивного электромагнитного излучения меняется показатель преломления [1, 2]. Если поперечное распределение интенсивности излучения имеет градиент, то показатель преломления среды также приобретает этот градиент и действует как фокусирующая линза для лазерного пучка [3]. К настоящему времени это явление детально исследовано для различных сред и типов излучения [4], включая солитоны [5].

В линейной среде лазерный пучок может демонстрировать свойства, аналогичные влиянию линзы, если в исходном поперечном распределении пучка присутствует градиент фазы. Такое явление принято называть автофокусировкой.

В последнее время исследователи сосредоточились на рассмотрении различных пучков с автофокусирующими свойствами, включая круговые пучки Эйри [6–10], пучки Пирси [11, 12], абберационные пучки [13], а также зеркальные [14, 15] и обобщённые [16, 17] пучки Эйри. Свойства резкой автофокусировки, присущие таким пучкам, полезны для оптического манипулирования [18, 19], при многофотонной полимеризации [20], нелинейных эффектах [21], поляризационном преобразовании [22, 23] и острой фокусировке [24].

Классическим фокусирующим элементом является линза, которая имеет квадратичную зависимость фазы от радиуса, т.е. линейный чирп (частота линейно возрастает с увеличением радиуса). Круговые пучки Эйри, имеющие асимптотическую зависимость фазы, пропорциональную $r^{3/2}$, соответствуют сублинейному чирпу [8].

В данной работе мы рассматриваем лазерные пучки, имеющие радиальную зависимость фазы, пропор-

циональную r^q , когда q принимает любое положительное действительное значение ($q > 0$), в том числе $q > 2$, т.е. сверхлинейный чирп. Оптические элементы с такой фазовой зависимостью можно назвать обобщёнными линзами [25] или дробными аксиконами [26]. В работе [27] было показано, что круговые сверхлинейные чирп-пучки обеспечивают более быструю и резкую фокусировку, чем круговые пучки Эйри.

В данной работе мы детально аналитически и численно исследуем свойства автофокусировки двух- и трёхпараметрических чирп-пучков с целью определения влияния различных параметров на такие характеристики, как кривизна фокальной траектории (каустики) и расстояние фокусировки. Пучки с управляемыми автофокусирующими свойствами обладают потенциалом для широкого спектра применений в оптике и фотонике.

1. Теоретические основы

В отличие от ранее рассмотренных резко автофокусирующихся пучков, основанных на функциях Эйри [6–8], уравнение (1) обеспечивает сверхлинейную чирповую зависимость функции Эйри от радиуса:

$$f_A(r) = \text{Ai} \left[\left(\frac{r - r_s}{w} \right)^n \right] \text{circ} \left(\frac{r}{R} \right), \quad (1)$$

где $\text{Ai}(x)$ – функция Эйри [28], n – степень нелинейности радиуса, $\text{circ}(r/R)$ – функция круга с единичной амплитудой и радиусом R , r_s – параметр радиального смещения и w – нормирующий параметр.

Строгий теоретический анализ свойств пучка, имеющего входную амплитуду (1), достаточно сложен. Тем не менее, для качественных оценок можно использовать аппроксимацию выражения (1) другой функцией, также имеющей осцилляции с изменяющейся частотой и амплитудой:

$$f_s(r) = \begin{cases} \sin\left[\left(\beta(r-r_s)\right)^q\right], & r_s < r < R+r_s, \\ 0, & 0 \leq r \leq r_s \end{cases}, \quad (2)$$

где β , r_s и q – действительные положительные числа. Уравнение (2) в принципе близко к аппроксимации, рассмотренной в работе [8]. Однако авторы [8] рассматривали случай $1 < q < 2$, который соответствует колебаниям входного распределения медленнее, чем линейный чирп. В данной работе рассматривается более общая ситуация $q > 0$, которая включает в себя колебания входного распределения быстрее, чем линейный чирп. Кроме того, исследуются начальные функции без радиального смещения, а затем с наличием смещения.

Теоретическое рассмотрение процесса распространения поля, в частности, самофокусировки, будем проводить в рамках преобразования Френеля:

$$E(\rho, \theta, z) = -\frac{ik}{2\pi z} \int_0^{2\pi} \int_0^\infty f(r, \varphi) \times \exp\left\{\frac{ik}{2z}[\rho^2 + r^2 - 2\rho r \cos(\varphi - \theta)]\right\} r dr d\varphi. \quad (3)$$

С учётом радиальной симметрии рассматриваемых пучков, выражение (3) можно переписать в виде:

$$E(\rho, z) = -\frac{ik}{2\pi z} \exp\left(\frac{ik}{2z}\rho^2\right) \int_0^\infty f(r) \exp\left(\frac{ik}{2z}r^2\right) r dr \times \int_0^{2\pi} \exp\left\{-\frac{ik}{z}\rho r \cos(\varphi)\right\} d\varphi. \quad (4)$$

В работе [27] было доказано, что для анализа поперечного распределения (но не распределения на оси) лучше использовать следующее приближение выражения (4):

$$E(\rho, z) \approx -ie^{i\pi/4} \sqrt{\frac{k}{2\pi\rho z}} \exp\left(\frac{ik}{2z}\rho^2\right) \times \int_0^\infty f(r) \exp\left(\frac{ik}{2z}r^2\right) \exp\left(-ik\frac{\rho r}{z}\right) \sqrt{r} dr. \quad (5)$$

Заметим, что формула (5) неприменима вблизи оптической оси. Дальнейшие расчёты производятся в рамках классического метода стационарной фазы [29, 30].

2. Двухпараметрические чирп-пучки

Если в (2) положить $r_s = 0$, то получаем начальное поле следующего вида:

$$f(r) = \sin\left[(k\alpha r)^q\right]; r \leq R, \quad (6)$$

где $k = 2\pi/\lambda$ – волновое число для лазерного излучения с длиной волны λ .

Пучки, определяемые уравнением (6), можно назвать двухпараметрическими чирп-пучками с по-

ложительными действительными параметрами α и q . В отличие от размерного параметра β в (2), параметр α в (6) является безразмерным и имеет смысл числовой апертуры.

В [27] показано, что без большой потери точности $\sin[(k\alpha r)^q]$ можно заменить $\exp[-i(k\alpha r)^q]$. Поэтому далее рассмотрим пучки со следующим начальным полем:

$$f(r) = \exp\left[-i(k\alpha r)^q\right]; r \leq R. \quad (7)$$

Выражению (7) соответствует функция комплексного пропускания собирающей обобщённой линзы [25].

Подставим амплитуду (7) в выражение (5):

$$E(\rho, z) = -ie^{i\pi/4} \sqrt{\frac{k}{2\pi\rho z}} \exp\left(\frac{ik\rho^2}{2z}\right) \times \int_0^R \exp\left[-i(k\alpha r)^q\right] \exp\left(\frac{ikr^2}{2z}\right) \times \exp\left(-\frac{ik\rho r}{z}\right) \sqrt{r} dr. \quad (8)$$

Интеграл в (8) можно записать в виде

$$J = \int_0^R \exp[-i\psi(r)] \sqrt{r} dr, \quad (9)$$

в котором фазовая функция равна

$$\psi(r) = (k\alpha r)^q - \frac{kr^2}{2z} + \frac{k\rho r}{z}. \quad (10)$$

Стационарная точка для (9) находится из уравнения $\psi'(r) = 0$, а каустике соответствует ситуация, когда корень этого уравнения является двукратным, то есть одновременно выполнены равенства $\psi'(r) = 0$ и $\psi''(r) = 0$. На основе равенства (10) находим стационарную точку, соответствующую каустике:

$$r_0(z) = \left[k^{-1}(k\alpha)^q q(q-1)z\right]^{-\frac{1}{q-2}}. \quad (11)$$

С учётом (11) уравнение линии (траектории) каустики имеет следующий вид:

$$\rho(z; \alpha, q) = \frac{q-2}{q-1} r_0(z) = \frac{q-2}{q-1} \left[k^{-1}(k\alpha)^q q(q-1)z\right]^{-\frac{1}{q-2}} \quad (12)$$

Итак, мы нашли уравнение линии каустики, которое определяет радиус максимального значения интенсивности в зависимости от расстояния z от входной плоскости. В [27] доказано, что каустика существует только при $q > 2$. Линия, описываемая равенством (12), имеет форму, похожую на гиперболу, и теоретически не пересекает оптическую ось. Выпишем выражение (12) для нескольких конкретных значений $q > 2$:

$$\begin{aligned} \rho(z; \alpha, q = 2,5) &= \frac{16}{675k^3\alpha^5} z^{-2}, \\ \rho(z; \alpha, q = 3) &= \frac{1}{12k^2\alpha^3} z^{-1}, \\ \rho(z; \alpha, q = 4) &= \frac{1}{3\sqrt{3}k^{3/2}\alpha^2} z^{-1/2}. \end{aligned} \tag{13}$$

Как следует из приведённых примеров, при увеличении значения параметра q кривая медленнее растёт при $z \rightarrow 0$ и медленнее убывает при большом z . Отметим, в обеих этих предельных областях выражение (12) следует использовать с осторожностью: в первой нет парааксильности, а вторая лежит вблизи оптической оси.

Параметр α обеспечивает дополнительную степень свободы для управления траекторией каустики. В частности, уменьшение параметра α позволяет увеличить радиус каустики. Однако очень сильно уменьшать этот параметр нельзя, иначе входное поле потеряет выраженную чирп-зависимость. Чтобы вычислить значение α , обеспечивающее одинаковый радиус на заданном расстоянии z_0 для различных значений q , достаточно приравнять два выражения:

$$\rho(z_0; \alpha, q_1) = \rho(z_0; \alpha, q_2). \tag{14}$$

В частности, при $q_1 = 2,5$ и $q_2 = 3$ выражение принимает простой вид:

$$\alpha = \frac{8}{15\sqrt{kz}}. \tag{15}$$

На рис. 1 показаны кривые, соответствующие траекториям каустик (зависимость радиуса максимума интенсивности от расстояния) двухпараметрического чирп-пучка с различными значениями q . Расчёт выполнен для длины волны освещающего пучка $\lambda = 633$ нм и $\alpha = 0,0005$. При этих параметрах с учётом (15) кривые для $q_1 = 2,5$ и $q_2 = 3$ пересекутся на расстоянии $z_0 = 240$ мм. Как видно, с увеличением параметра q форма каустики становится более пологой. Именно этот фактор обеспечивает резкую и даже «неожиданную» автофокусировку [27] при использовании суперлинейных чирп-пучков. А именно: при высоких значениях q каустика долго сохраняет вид кольца с примерно одинаковым радиусом, затем она обрывается, а после этого на оси резко и «неожиданно» формируется фокальное пятно, которое возникает благодаря осевой каустике [31]. Наглядно это проиллюстрировано на результатах, показанных в табл. 1. Моделирование выполнено с использованием преобразования Френеля (3) для двухпараметрического пучка (6), ограниченного кругом с радиусом $R = 3$ мм. Параметры q и α согласованы с целью получения близких результатов.

Рассмотренные двухпараметрические чирп-пучки имеют внеосевую каустику (кольцевое распределе-

ние) только при $q > 2$. В этом случае траектория каустики всегда имеет гиперболический вид и обратную зависимость радиуса каустики от расстояния.

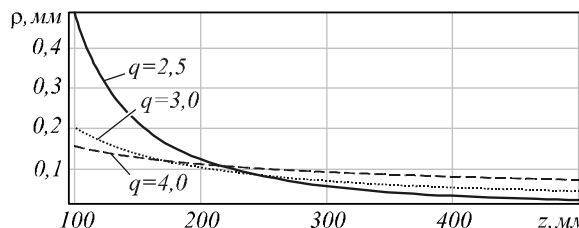


Рис. 1. Графики, соответствующие траекториям каустик двухпараметрического чирп-пучка при $\alpha = 0,0005$ с различными значениями q

Чтобы изменить тип линии внеосевой каустики, нужно использовать $q < 2$ и произвести радиальное смещение исходного распределения для обеспечения формирования внеосевой каустики при данных значениях q . Эта ситуация подробно рассмотрена в следующем параграфе.

3. Трёхпараметрические чирп-пучки

Если в (2) $r_s \neq 0$, то при замене синуса экспонентой получаем начальное поле в виде:

$$f(r) = \begin{cases} \exp[-i(k\alpha(r-r_s))^q], & r_s < r < R+r_s, \\ 0, & 0 \leq r \leq r_s. \end{cases} \tag{16}$$

Выражение (16) можно считать функцией комплексного пропускания «раздвинутой» собирающей обобщённой линзы. Пучки, определяемые этим уравнением, будем называть трёхпараметрическими (r_s – третий параметр) чирп-пучками.

Выражение для распространения поля (16) вычисляется по формулам, аналогичным (8) и (9), но меняется фазовая функция:

$$\psi(r) = [k\alpha(r-r_s)]^q - \frac{kr^2}{2z} + \frac{kr_r}{z}. \tag{17}$$

Так же, как в случае $r_s = 0$, на основе равенства (17) и условия одновременного равенства $\psi'(r) = 0$ и $\psi''(r) = 0$, определяющего каустику, находим стационарную точку, соответствующую каустике:

$$r_0(z) = r_s + \left[k^{-1} (k\alpha)^q q(q-1)z \right]^{\frac{1}{q-2}} = r_s + g_0(z). \tag{18}$$

Тогда уравнение линии каустики:

$$\begin{aligned} \rho(z; \alpha, q, r_s) &= \frac{q-2}{q-1} r_0(z) + \frac{r_s}{q-1} = \\ &= r_s + \frac{q-2}{q-1} g_0(z) = \\ &= r_s + \frac{q-2}{q-1} \left[k^{-1} (k\alpha)^q q(q-1)z \right]^{\frac{1}{q-2}}. \end{aligned} \tag{19}$$

Табл. 1. Результаты моделирования для двухпараметрических чирп-пучков (б) при различных параметрах

Значения параметров	Вид фазы оптического элемента	Продольное распределение: $z \in [100 \text{ мм}, 500 \text{ мм}]$, $y \in [-3 \text{ мм}, 3 \text{ мм}]$	
		Топология: вид внеосевой каустики	Амплитуда (негатив)
$q = 2,5$; $\alpha = 0,0002$			
$q = 3$; $\alpha = 0,00015$			
$q = 4$; $\alpha = 0,0001$			

Выражение (19) фактически такое же, как (12), но с дополнительным слагаемым r_s . Этот фактор имеет два существенных следствия. Во-первых, когда $q > 2$, то с увеличением расстояния z радиус каустики приближается не к нулю, а к r_s , то есть физически внеосевая каустическая поверхность полностью находится снаружи цилиндра радиуса r_s . Во-вторых, что ещё более важно, когда $1 < q < 2$, второй член уравнения (19) отрицателен, но из-за положительного слагаемого r_s радиус может принимать положительные значения. Таким образом, при $r_s \neq 0$ внеосевая каустика существует не только при $q > 2$, но и при $1 < q < 2$. Отметим, что имеет место непрерывный переход: для $q > 2$ при $r_s \rightarrow 0$ уравнение внеосевой каустики (19) переходит в уравнение (12), а для $1 < q < 2$ при $r_s \rightarrow 0$ длина линии каустики непрерывно стремится к нулю.

Форма траектории внеосевой каустики при $1 < q < 2$ существенно отличается от формы каустики при $q > 2$. Выпишем выражение (19) для нескольких конкретных значений $1 < q < 2$:

$$\begin{aligned} \rho(z; \alpha, q = 4/3, r_s) &= r_s - \frac{16k^{1/2}\alpha^2}{27} z^{3/2}, \\ \rho(z; \alpha, q = 3/2, r_s) &= r_s - \frac{9k\alpha^3}{16} z^2, \\ \rho(z; \alpha, q = 5/3, r_s) &= r_s - \frac{500k^2\alpha^5}{729} z^3. \end{aligned} \quad (20)$$

При $1 < q < 2$ внеосевая каустика существует до тех пор, пока не пересечётся с оптической осью $\rho = 0$. Эту

точку можно назвать фокусом, от начальной плоскости она расположена на расстоянии:

$$z_{foc} = \frac{1}{q\alpha[(q-1)k\alpha]^{q-1}} \cdot \left(\frac{r_s}{2-q}\right)^{2-q}, \quad 1 < q < 2. \quad (21)$$

В этой точке аналитически рассчитанная методом стационарной фазы амплитуда поля будет бесконечно большой.

На рис. 2 показаны кривые, соответствующие траекториям каустик трёхпараметрического чирп-пучка с различными значениями $1 < q < 2$. Расчёт выполнен для $\lambda = 633 \text{ нм}$, $\alpha = 0,0015$, $r_s = 1 \text{ мм}$. В этом случае для $q = 4/3$ $z_{foc} \approx 503 \text{ мм}$, для $q = 3/2$ $z_{foc} \approx 345 \text{ мм}$, для $q = 5/3$ $z_{foc} \approx 210 \text{ мм}$. Как видно, тип траектории существенно отличается от рассмотренных в предыдущем параграфе. С увеличением q линия внеосевой каустики становится более изогнутой. Таким образом, третий параметр радиального смещения r_s является очень важным. Очевидно, параметр α позволяет дополнительно варьировать кривизну линии каустики и расстояние до фокуса.

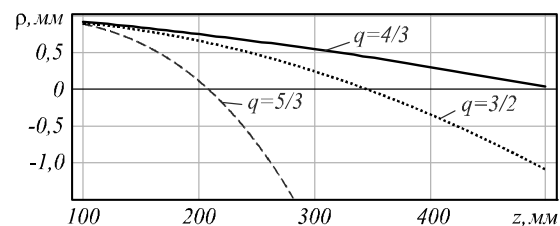


Рис. 2. Графики, соответствующие траекториям каустик трёхпараметрического чирп-пучка при $\alpha = 0,0015$, $r_s = 1 \text{ мм}$ с различными значениями q

Как видно из результатов моделирования, приведенных в табл. 2, распределение качественно изменилось по сравнению с табл. 1. Линия каустики стала выпуклой вверх, что соответствует выражениям (19) и (20), и имеет точку фокуса. Кроме того, область нулевой интенсивности, хорошо видная на картинах топологии, теперь располагается не снаружи, а внутри каустической поверхности. Отметим, что при этом осевая каустика сохраняется в отличие от вихревых пучков [32].

Заклучение

Таким образом, мы рассмотрели различные функции, которые можно интерпретировать как комплексные функции пропускания оптических элементов, формирующих автофокусирующиеся пучки.

Детально аналитически и численно исследованы свойства автофокусировки двух- и трёхпараметриче-

ских чирп-пучков с целью определения влияния различных параметров на такие характеристики, как кривизна фокальной траектории (каустики) и расстояние фокусировки.

Показано, что двухпараметрические чирп-пучки имеют внеосевую каустику только для сверхлинейного ($q > 2$) чирпа. Траектория каустики имеет вид гиперболы, т.е. обратную зависимость радиуса каустики от расстояния. Для формирования каустик другого типа нужно внести дополнительный параметр, соответствующий радиальному смещению исходного распределения, т.е. использовать трёхпараметрические сублинейные ($1 < q < 2$) чирп-пучки. Кроме изменения формы каустики, меняется область нулевой интенсивности: для сверхлинейных чирп-пучков она располагается снаружи каустической поверхности, а для сублинейных чирп-пучков – внутри каустической поверхности.

Табл. 2. Результаты моделирования для трёхпараметрических чирп-пучков (2) при $r_s=2$ мм различных параметрах q и α

Значения параметров	Вид фазы оптического элемента	Продольное распределение: $z \in [100 \text{ мм}, 500 \text{ мм}]$, $y \in [-3 \text{ мм}, 3 \text{ мм}]$	
		Топология: вид внеосевой каустики	Амплитуда (негатив)
$q = 4/3$; $\alpha = 0,0018$			
$q = 1,5$; $\alpha = 0,0012$			
$q = 5/3$; $\alpha = 0,0008$			

Показано, что использование сверхлинейных чирп-пучков обеспечивает внезапную и более резкую автофокусировку, чем сублинейные чирп-пучки. Это связано с тем фактом, что при высоких значениях параметра степени внеосевая каустика долго сохраняет вид кольца с примерно одинаковым радиусом, а когда она обрывается, на оси резко и «неожиданно» формируется фокальное пятно, которое возникает благодаря осевой каустике. Масштабирующий параметр α позволяет дополнительно варьировать кривизну линии каустики и расстояние до фокуса.

Выполненные исследования позволяют формировать пучки с управляемыми автофокусирующими свойствами, востребованные в различных приложениях оптики и фотоники.

Благодарности

Работа выполнена при поддержке гранта РФФИ № 20-07-00505 в теоретической части и Министерства науки и высшего образования РФ в рамках выполнения работ по Государственному заданию ФНИЦ «Кристаллография и фотоника» РАН (соглашение № 007-ГЗ/Ч3363/26) в части численного моделирования.

Литература

1. **Askaryan, G.A.** Effects of the gradient of a strong electromagnetic beam on electrons and atoms / G.A. Askaryan // *JETP*. – 1962. – Vol. 15. – P. 1088-1090.
2. **Talanov, V.I.** On self-focusing of electromagnetic waves in nonlinear media / V.I. Talanov // *Izvestia VUZov. Radiophysika*. – 1964. – Vol. 7, Issue 8. – P. 564-565.
3. **Kelley, P.L.** Self-focusing of optical beams / P. L. Kelley // *Physical Review Letters*. – 1965. – Vol. 15. – P. 1005-1008.
4. Self-focusing: Past and present. Fundamentals and prospects / ed. by R.W. Boyd, S.G. Lukishova, Y.R. Shen. – New York: Springer, 2009. – ISBN: 978-0-387-32147-9.
5. **Kivshar, Y.S.** Optical solitons / Y.S. Kivshar, G.P. Agrawal. – Boston: Academic Press, 2003. – ISBN: 978-0-12-410590-4.
6. **Efremidis, N.K.** Abruptly autofocusing waves / N.K. Efremidis, D.N. Christodoulides // *Optics Letters*. – 2010. – Vol. 35, Issue 23. – P. 4045-4047. – DOI: 10.1364/OL.35.004045.
7. **Papazoglou, D.G.** Observation of abruptly autofocusing waves / D.G. Papazoglou, N.K. Efremidis, D.N. Christodoulides, S. Tzortzakis // *Optics Letters*. – 2011. – Vol. 36, Issue 10. – P. 1842-1844. – DOI: 10.1364/OL.36.001842.
8. **Chremmos, I.** Pre-engineered abruptly autofocusing beams / I. Chremmos, N.K. Efremidis, D.N. Christodoulides // *Optics Letters*. – 2011. – Vol. 36, Issue 10. – P. 1890-1892. – DOI: 10.1364/OL.36.001890.
9. **Davis, J.A.** Abruptly autofocusing vortex beam / J.A. Davis, D.M. Cottrell, D. Sand // *Optics Express*. – 2012. – Vol. 20, Issue 12. – P. 13302-13310. – DOI: 10.1364/OE.20.013302.
10. **Porfirev, A.P.** Generation of the azimuthally modulated circular superlinear Airy beams / A.P. Porfirev, S.N. Khonina // *Journal of the Optical Society of America B*. – 2017. – Vol. 34, Issue 12. – P. 2544-2549. – DOI: 10.1364/JOSAB.34.002544.
11. **Ring, J.** Auto-focusing and self-healing of Pearcey beams / J. Ring, J. Lindberg, A. Mourka, M. Mazilu, K. Dholakia, M. Dennis // *Optics Express*. – 2012. – Vol. 20, Issue 17. – P. 18955-18966. – DOI: 10.1364/OE.20.018955.
12. **Chen, X.** Nonparaxial propagation of abruptly autofocusing circular Pearcey Gaussian beams / X. Chen, D. Deng, J. Zhuang, X. Yang, H. Liu, G. Wang // *Applied Optics*. – 2018. – Vol. 57, Issue 28. – P. 8418-8423. – DOI: 10.1364/AO.57.008418.
13. **Khonina, S.N.** Aberration laser beams with autofocusing properties / S.N. Khonina, A.V. Ustinov, A.P. Porfirev // *Applied Optics*. – 2018. – Vol. 57, Issue 6. – P. 1410-1416. – DOI: 10.1364/AO.57.001410.
14. **Khonina, S.N.** Specular and vortical Airy beams / S.N. Khonina // *Optics Communications*. – 2011. – Vol. 284, Issue 19. – P. 4263-4271. – DOI: 10.1016/j.optcom.2011.05.068.
15. **Vaveliuk, P.** Symmetric Airy beams / P. Vaveliuk, A. Lencina, J.A. Rodrigo, O.M. Matos // *Optics Letters*. – 2014. – Vol. 39, Issue 8. – P. 2370-2373. – DOI: 10.1364/OL.39.002370.
16. **Belafhal, A.** Theoretical introduction and generation method of a novel nondiffracting waves: Olver beams / A. Belafhal, L. Ez-Zariy, S. Hennani, H. Nebd // *Optics and Photonics Journal*. – 2015. – Vol. 5, Issue 7. – P. 234-246. – DOI: 10.4236/opj.2015.57023.
17. **Khonina, S.N.** Fractional Airy beams / S.N. Khonina, A.V. Ustinov // *Journal of the Optical Society of America A*. – 2017. – Vol. 34, Issue 11. – P. 1991-1999. – DOI: 10.1364/JOSAA.34.001991.
18. **Zhang, P.** Trapping and guiding microparticles with morphing autofocusing Airy beams / P. Zhang, J. Prakash, Z. Zhang, M.S. Mills, N.K. Efremidis, D.N. Christodoulides, Z. Chen // *Optics Letters*. – 2011. – Vol. 36, Issue 15. – P. 2883-2885. – DOI: 10.1364/OL.36.002883.
19. **Jiang, Y.** Radiation force of abruptly autofocusing Airy beams on a Rayleigh particle / Y. Jiang, K. Huang, X. Lu // *Optics Express*. – 2013. – Vol. 21, Issue 20. – P. 24413-24421. – DOI: 10.1364/OE.21.024413.
20. **Manousidaki, M.** Abruptly autofocusing beams enable advanced multiscale photo-polymerization / M. Manousidaki, D.G. Papazoglou, M. Farsari, S. Tzortzakis // *Optica*. – 2016. – Vol. 3, Issue 5. – P. 525-530. – DOI: 10.1364/OPTICA.3.000525.
21. **Panagiotopoulos, P.** Sharply autofocused ring-Airy beams transforming into non-linear intense light bullets / P. Panagiotopoulos, D.G. Papazoglou, A. Couairon, S. Tzortzakis // *Nature Communications*. – 2013. – Vol. 4. – 2622. – DOI: 10.1038/ncomms3622.
22. **Liu, S.** Observation of abrupt polarization transitions associated with spin-orbit interaction of vector autofocusing Airy beams [Electronical Resource] / S. Liu, P. Li, M. Wang, P. Zhang, J. Zhao. – In: *Frontiers in Optics*. – 2013. – URL: <https://www.osapublishing.org/abstract.cfm?uri=FiO-2013-FW1A.5> (request date 03.08.2020). – DOI: 10.1364/FIO.2013.FW1A.5.
23. **Liu, S.** Abrupt polarization transition of vector autofocusing Airy beams / S. Liu, M. Wang, P. Li, P. Zhang, J. Zhao // *Optics Letters*. – 2013. – Vol. 38, Issue 14. – P. 2416-2418. – DOI: 10.1364/OL.38.002416.
24. **Degtyarev, S.A.** Sublinearly chirped metalenses for forming abruptly autofocusing cylindrically polarized beams / S.A. Degtyarev, S.G. Volotovskiy, S.N. Khonina // *Journal of the Optical Society of America B*. – 2018. – Vol. 35, Issue 8. – P. 1963-1969. – DOI: 10.1364/JOSAB.35.001963.
25. **Устинов, А.В.** Обобщённая линза: анализ осевого и поперечного распределения / А.В. Устинов, С.Н. Хонина // *Компьютерная оптика* – 2013. – Т. 37, № 3. – С. 307-315.
26. **Устинов, А.В.** Фракцион как гибридный элемент между параболической линзой и линейным аксионом / А.В. Устинов, С.Н. Хонина // *Компьютерная оптика*. – 2014. – Т. 38, № 3. – С. 402-411.
27. **Khonina, S.N.** Sudden autofocusing of superlinear chirp beams / S.N. Khonina, A.P. Porfirev, A.V. Ustinov // *Journal of Optics*. – 2018. – Vol. 20, Issue 2. – 025605 (9pp). – DOI: 10.1088/2040-8986/aaa075.
28. **Vallee, O.** Airy functions and applications in physics / O. Vallee, M. Soares. – London: Imperial College Press, 2004. – 194 p. – ISBN: 978-1-86094-478-9.
29. **Friberg, A.T.** Stationary-phase analysis of generalized axicons / A.T. Friberg // *Journal of the Optical Society of America A*. – 1996. – Vol. 13, Issue 4. – P. 743-750. – DOI: 10.1364/JOSAA.13.000743.
30. **Харитонов, С.И.** Гибридный асимптотический метод анализа каустик оптических элементов в радиально-симметричном случае / С.И. Харитонов, С.Г. Вологовский, С.Н. Хонина // *Компьютерная оптика*. – 2017. – Т. 41, № 2. – С. 175-182. – DOI: 10.18287/2412-6179-2017-41-2-175-182.
31. **Kharitonov, S.I.** Diffraction catastrophes and asymptotic analysis of caustics from axisymmetric optical elements / S.I. Kharitonov, S.G. Volotovskiy, S.N. Khonina, N.L. Kazanskiy // *Proceedings of SPIE*. – 2019. – Vol. 11146. – 111460K. – DOI: 10.1117/12.2526253.
32. **Сойфер, В.А.** Каустики вихревых оптических пучков / В.А. Сойфер, С.И. Харитонов, С.Н. Хонина, С.Г. Вологовский // *Доклады Академии наук*. – 2019. – Т. 487, № 2. – С. 135-139. – DOI: 10.31857/S0869-56524872135-139.

Сведения об авторах

Устинов Андрей Владимирович, 1968 года рождения, в 1991 году окончил Куйбышевский авиационный институт имени академика С.П. Королёва (КуАИ) по специальности «Прикладная математика». Кандидат физико-математических наук (2016 год), работает научным сотрудником в ИСОИ РАН – филиал ФНИЦ «Кристаллография и фотоника» РАН. Область научных интересов: дифракционная оптика, разработка программ моделирования работы оптических элементов; обработка изображений, в частности, гидродинамических процессов и биомедицинских изображений. E-mail: andr@ipsiras.ru.

Хонина Светлана Николаевна, доктор физико-математических наук, профессор Самарского университета; главный научный сотрудник ИСОИ РАН – филиал ФНИЦ «Кристаллография и фотоника» РАН. Область научных интересов: дифракционная оптика, сингулярная оптика, модовые и поляризационные преобразования, оптическое манипулирование, оптическая и цифровая обработка изображений. E-mail: khonina@ipsiras.ru.

ГРНТИ: 29.31.15

Поступила в редакцию 8 апреля 2020 г. Окончательный вариант – 2 сентября 2020 г.

Properties of off-axis caustics of autofocusing chirp beams

A.V. Ustinov¹, S.N. Khonina^{1,2}

¹ *IPSI RAS – Branch of the FSRC “Crystallography and Photonics” RAS,
Molodogvardeyskaya 151, 443001, Samara, Russia,*

² *Samara National Research University, Moskovskoye Shosse 34, 443086, Samara, Russia*

Abstract

Autofocusing properties of chirp beams with an arbitrary power-law dependence on the radius are studied theoretically and numerically. Two- and three-parameter chirp beams are considered, the parameter variations of which make it possible to effectively control their autofocusing properties. The results obtained have a potential for various applications in optics and photonics.

Keywords: autofocusing, off-axis caustics, chirp beams.

Citation: Ustinov AV, Khonina SN. Properties of off-axis caustics of autofocusing chirp beams. *Computer Optics* 2020; 44(5): 721-727. DOI: 10.18287/2412-6179-CO-794.

Acknowledgements: This work was partly funded by the Russian Foundation for Basic Research under grant No. 20-07-00505 (theoretical part) and the Ministry of Science and Higher Education within the government project of FSRC “Crystallography and Photonics” RAS under agreement 007-GZ/Ch3363/26 (numerical calculations).

References

- [1] Askaryan GA. Effects of the gradient of a strong electromagnetic beam on electrons and atoms. *JETP* 1962; 15: 1088-1090.
 - [2] Talanov VI. Self-focusing of electromagnetic waves in non-linear media. *Izv VUZov Radiophys* 1964; 7(8): 564-565.
 - [3] Kelley PL. Self-focusing of optical beams. *Phys Rev Lett* 1965; 15: 1005-1008.
 - [4] Boyd RW, Lukishova SG, Shen YR, eds. *Self-focusing: Past and present. Fundamentals and prospects.* New York: Springer; 2009. ISBN: 978-0-387-32147-9.
 - [5] Kivshar YS, Agrawal GP. *Optical solitons.* Boston: Academic Press; 2003. ISBN: 978-0-12-410590-4.
 - [6] Efremidis NK, Christodoulides DN. Abruptly autofocusing waves. *Opt Lett* 2010; 35(23): 4045-4047. DOI: 10.1364/OL.35.004045.
 - [7] Papazoglou DG, Efremidis NK, Christodoulides DN, Tzortzakis S. Observation of abruptly autofocusing waves. *Opt Lett* 2011; 36(10): 1842-1824. DOI: 10.1364/OL.36.001842.
 - [8] Chremmos I, Efremidis NK, Christodoulides DN. Pre-engineered abruptly autofocusing beams. *Opt Lett* 2011; 36(10): 1890-1892. DOI: 10.1364/OL.36.001890.
 - [9] Davis JA, Cottrell DM, Sand D. Abruptly autofocusing vortex beams. *Opt Express* 2012; 20(12): 13302-13310. DOI: 10.1364/OE.20.013302.
 - [10] Porfirev AP, Khonina SN. Generation of the azimuthally modulated circular superlinear Airy beams. *J Opt Soc Am B* 2017; 34(12): 2544-2549. DOI: 10.1364/JOSAB.34.002544.
 - [11] Ring J, Lindberg J, Mourka A, Mazilu M, Dholakia K, Dennis M. Auto-focusing and self-healing of Pearcey beams. *Opt Express* 2012; 20(17): 18955-18966. DOI: 10.1364/OE.20.018955.
 - [12] Chen X, Deng D, Zhuang J, Yang X, Liu H, Wang G. Nonparaxial propagation of abruptly autofocusing circular Pearcey Gaussian beams. *Appl Opt* 2018; 57(28): 8418-8423. DOI: 10.1364/AO.57.008418.
 - [13] Khonina SN, Ustinov AV, Porfirev AP. Aberration laser beams with autofocusing properties. *Appl Opt* 2018; 57(6): 1410-1416. DOI: 10.1364/AO.57.001410.
 - [14] Khonina SN. Specular and vortical Airy beams. *Opt Commun* 2011; 284(19): 4263-4271. DOI: 10.1016/j.optcom.2011.05.068.
 - [15] Vaveliuk P, Lencina A, Rodrigo JA, Matos OM. Symmetric Airy beams. *Opt Lett* 2014; 39(8): 2370-2373. DOI: 10.1364/OL.39.002370.
 - [16] Belafhal A, Ez-Zariy L, Hennani S, Nebd H. Theoretical introduction and generation method of a novel nondiffracting waves: Olver beams. *Opt Photon J* 2015; 5(7): 234-246. DOI: 10.4236/opj.2015.57023.
 - [17] Khonina SN, Ustinov AV. Fractional Airy beams. *J Opt Soc Am A* 2017; 34(11): 1991-1999. DOI: 10.1364/JOSAA.34.001991.
 - [18] Zhang P, Prakash J, Zhang Z, Mills MS, Efremidis NK, Christodoulides DN, Chen Z. Trapping and guiding microparticles with morphing autofocusing Airy beams. *Opt Lett* 2011; 36(15): 2883-2885. DOI: 10.1364/OL.36.002883.
 - [19] Jiang Y, Huang K, Lu X. Radiation force of abruptly autofocusing Airy beams on a Rayleigh particle. *Opt Express* 2013; 21(20): 24413-24421. DOI: 10.1364/OE.21.024413.
 - [20] Manousidaki M, Papazoglou DG, Farsari M, Tzortzakis S. Abruptly autofocusing beams enable advanced multiscale photo-polymerization. *Optica* 2016; 3(5): 525-530. DOI: 10.1364/OPTICA.3.000525.
 - [21] Panagiotopoulos P, Papazoglou DG, Couairon A, Tzortzakis S. Sharply autofocused ring-Airy beams transforming into non-linear intense light bullets. *Nat Commun* 2013; 4: 2622. DOI: 10.1038/ncomms3622.
 - [22] Liu S, Li P, Wang M, Zhang P, Zhao J. Observation of abrupt polarization transitions associated with spin-orbit interaction of vector autofocusing Airy beams. In book: *Frontiers in Optics.* 2013. Source: (<https://www.osapublishing.org/abstract.cfm?uri=FiO-2013-FW1A.5>). DOI: 10.1364/FIO.2013.FW1A.5.
 - [23] Liu S, Wang M, Li P, Zhang P, Zhao J. Abrupt polarization transition of vector autofocusing Airy beams. *Opt Lett* 2013; 38(14): 2416-2418. DOI: 10.1364/OL.38.002416.
 - [24] Degtyarev SA, Volotovskiy SG, Khonina SN. Sublinearly chirped metalenses for forming abruptly autofocusing cylindrically polarized beams. *J Opt Soc Am B* 2018; 35(8): 1963-1969. DOI: 10.1364/JOSAB.35.001963.
 - [25] Ustinov AV, Khonina SN. Generalized lens: calculation of distribution on the optical axis. *Computer Optics* 2013; 37(3): 307-315.
-

-
- [26] Ustinov AV, Khonina SN. Fraxicon as hybrid element between the parabolic lens and the linear axicon. *Computer Optics* 2014; 38(3): 402-411.
- [27] Khonina SN, Porfirev AP, Ustinov AV. Sudden autofocusing of superlinear chirp beams. *J Opt* 2018; 20(2): 025605. DOI: 10.1088/2040-8986/aaa075.
- [28] Vallee O, Soares M. Airy functions and applications in physics. London: Imperial College Press; 2004. ISBN: 978-1-86094-478-9.
- [29] Friberg AT. Stationary-phase analysis of generalized axicons. *J Opt Soc Am A* 1996; 13(4): 743-750. DOI: 10.1364/JOSAA.13.000743.
- [30] Kharitonov SI, Volotovskiy SG, Khonina SN. Hybrid asymptotic method for analyzing caustics of optical elements in the axially symmetric case. *Computer Optics* 2017; 41(2): 175-182. DOI: 10.18287/2412-6179-2017-41-2-175-182.
- [31] Kharitonov SI, Volotovskiy SG, Khonina SN, Kazanskiy NL. Diffraction catastrophes and asymptotic analysis of caustics from axisymmetric optical elements. *Proc SPIE* 2019; 11146: 111460K. DOI: 10.1117/12.2526253.
- [32] Soifer VA, Kharitonov SI, Khonina SN, Volotovskiy SG. Caustics of vortex optical beams. *Doklady Physics* 2019; 64(7): 276-279. DOI: 10.1134/S102833581907005X
-

Authors' information

Andrey Vladimirovich Ustinov, (b. 1968) graduated from Kuibyshev Aviation Institute named after academician S.P. Korolyov (KuAI) on a specialty "Applied Mathematics" in 1991. Candidate of Physical and Mathematical Sciences (2016), works as the researcher in the IPSI RAS – Branch of the FSRC "Crystallography and Photonics" RAS. Research interests: diffractive optics; software design for modeling of optical elements operating; images processing, particularly images of hydrodynamic processes and biomedical images. E-mail: andr@ipsiras.ru.

Svetlana Nikolaevna Khonina, Doctor of Physical and Mathematical Sciences; Professor of Samara National Research University. Main researcher of the IPSI RAS – Branch of the FSRC "Crystallography and Photonics" RAS. Research interests: diffractive optics, singular optics, mode and polarization transformations, optical manipulating, optical and digital image processing. E-mail: khonina@ipsiras.ru.

Received April 8, 2020. The final version – September 2, 2020.
